

UNIVERSIDAD NACIONAL AUTÓNOMA DE MÉXICO

Facultad de Ciencias

Autor: Adrián Aguilera Moreno



Algoritmos II

Resúmenes.

0.1 Punto de visibilidad.

Obejetivo: Dado un punto q *kernel* de un polígono P , queremos encontrar el polígono construido a partir de segmentos de la frontera de P tal que q puede visualizarlo.

Desarrollo: Existen diversos tipos de polígonos interesantes. Nos centraremos en polígonos simples. Dentro de los polígonos simples existen *polígonos con revoluciones* y *polígonos sin revoluciones*. El algoritmo de *lee* para encontrar el polígono de visibilidad dado q se comporta bien en polígonos sin revoluciones, así analicemos un algoritmo de preprocesamiento:

Algoritmo de Bhattacharya: Poda de polígonos.

1. Tracemos una horizontal ℓ a P a partir de q .
2. Tomemos la primer intersección de ℓ con la frontera de P , digamos x_1 , cómo nuestro punto de inicio para recorrer la frontera de nuestro polígono P .
3. Clasifiquemos a partir de x_1 a los puntos de intersección de ℓ con P cómo bajos y altos. Inicialmente, x_1 es un punto alto si fue escogido a la derecha de q , en otro caso se clasificó cómo bajo.
4. Recorriendo en sentido *anti-horario* clasificamos al siguiente punto de intersección de ℓ con P cómo la clasificación contraria a la de x_1 y así consecutivamente. En alguna iteración llegaremos nevemente a x_1 , pues el polígono es una trayectoria cíclica. Sin embargo, no reclasificaremos a x_1 .
5. El siguiente paso se basa en encontrar a las primeras aristas de ℓ que están acotadas internamente por P , tales que sus extremos son puntos clasificados como: bajo-alto o alto-bajo, esto es, que tengan distinta clasificación.
6. Al encontrar estás aristas, y que sean más cercanas a q , recortamos nuestro polígono uniendo las aristas encontradas a P y descartando el resto de P (P después de cada arista). Esto nos garantiza que el polígono P' resultante no tenga revoluciones.

Análisis de complejidad.

1. Intersectar ℓ nos toma $\mathcal{O}(n)$.
2. Clasificar las intersecciones de ℓ en P requiere recorrer P y nos toma $\mathcal{O}(n)$.
3. Encontrar las aristas que cumplan tener extremos clasificados de distinta manera y unirlos a P nos toma $\mathcal{O}(n)$, pues en el peor caso hay que recorrer P nuevamente.
4. Concluimos que nuestro algoritmo tiene una complejidad contenida en $\mathcal{O}(n)$.

Ahora, supongamos que P ha sido podado y no tiene revoluciones. Analicemos el siguiente algoritmo para encontrar el polígono de visibilidad en P dado q :

Algoritmo de Lee: Encontrar el polígono de visibilidad de P dado q .

1. Tirar un rayo horizontal a la derecha de q tal que intersecte la frontera de P . Si q se encuentra fuera de P se preprocesa en base a dos casos: (1) q está fuera de la envolvente convexa de P , (2) q está dentro de la envolvente convexa de P . Este preprocesamiento se realiza en $\mathcal{O}(n)$.
2. Realizamos un recorrido con una pila para realizar *backtracking* desde el punto de intersección encontrado.

3. Todo punto contenido en los segmentos de la frontera de P entran a la pila *si y sólo si* es un punto visible desde q .
4. Si aplicamos retroceso, entonces lanzaremos un rayo desde el punto de iteración (el punto dónde va la ejecución) e incluiremos la intersección de este rayo con la frontera de P como un punto construido a la pila.
5. Al final, la pila contiene los puntos que forman el polígono de visibilidad de P desde q .

Análisis de complejidad.

1. Lanzar un rayo desde q hacia su derecha lo realizamos en $\mathcal{O}(1)$.
2. Encontrar la intersección del rayo con la frontera de P es equivalente a realizar una búsqueda binaria y se puede hacer en $\mathcal{O}(\log n)$.
3. Recorrer nuestro polígono con retroceso lo realizamos a lo más en un orden $\mathcal{O}(n)$.
4. Concluimos con una complejidad en $\mathcal{O}(n)$.

0.2 Tres problemas de iluminación y visibilidad.

Obejetivo: Probar que

1. Para una gráfica de visibilidad en un polígono. La suma de aristas estrictamente internas y estrictamente externas es al menos $\lceil \frac{3n-1}{2} \rceil - 4$.
2. En polígonos ortogonales el número mínimo de reflectores para iluminarlos es de $\lfloor \frac{n}{4} \rfloor$.
3. Para polígonos convexos, existen reflectores f_1, f_2, f_3 tales que $f_1 + f_2 + f_3 \geq \pi$ que iluminan al polígono.

Desarrollo: Esbochemos las pruebas de los resultados anteriores:

1. Sea P un polígono simple con n vértices. Definimos
 - $int(P) \rightarrow \#$ aristas estrictamente internas.
 - $ext(P) \rightarrow \#$ aristas estrictamente externas.
 - Vértice interno de P si pertenece al interior de $Conv(P)$.

Lema. Sea P un polígono de n vértices, con k vértices internos. Entonces

$$ext(P) \geq k.$$

Lema. Si P tiene k vértices internos, entonces

$$int(P) + ext(P) \geq (n + 3) + k.$$

Lema. Todo polígono con k vértices internos puede descomponerse en $k + 1$ polígonos convexos P_1, \dots, P_{k+1} . Esta descomposición puede obtenerse de tal forma que si P_i tiene n_i vértices $i \in [1, \dots, k + 1]$ entonces $n_1 + \dots + n_{k+1} = n + 3k$.

Lema. Sea P'_i el polígono formado por vértices reales para cada P_i y sea m_i el número de vértices de P'_i . Entonces si $m_i \geq 4$, entonces cualquier arista estrictamente interna de P_i es intersectada por, al menos, $m_i - 3$ aristas estrictamente internas de P'_i .

Teo. Para cualquier polígono simple con n vértices

$$int(P) + ext(P) \geq \lceil \frac{3n-1}{2} \rceil - 4.$$

Demostración: Supongamos que P tiene k vértices internos. Obtengamos una partición en $k + 1$ polígonos convexos. Para cada $m_i \geq 4$ tómese una arista de visibilidad estrictamente interna e_i de P'_i .

*Es fácil ver que siempre existe una triangulación T de P que contiene a todas las aristas estrictamente internas de P'_i .

Ahora, probemos que $int(P) \geq 2n - 2k - 6$. Para cada $m_i \geq 4$, se tiene que e_i se intersecta por lo menos con $m_i - 3$ aristas estrictamente internas de P'_i . *Si $e_i \in T_P$ entonces las aristas anteriores no pertenecen a T (las triangulaciones son planas y simples). Como estas aristas son estrictamente internas de P , tenemos que

$$int(P) \geq (n - 3) + \sum_{m_i \geq 4} (m_i - 3) \geq (n - 3) + \sum_{i \in [1, \dots, k+1]} (m_i - 3)$$

Observemos que

$$\sum_{i \in [1, \dots, k+1]} (m_i - 3) = n + k - 3(k+1) = n - 2k - 3.$$

Así

$$\text{int}(P) \geq (n - 3) + \sum_{i \in [1, \dots, k+1]} (m_i - 3) = 2n - 2k - 6.$$

Además, sabemos que $\text{ext}(P) \geq k$. Entonces

$$\text{int}(P) + \text{ext}(P) \geq (2n - 2k - 6) + k = 2n - k - 6.$$

Antes habíamos probado que $\text{int}(P) + \text{ext}(P) \geq (n - 3) + k$. Por lo que, al sumar ambos resultados tenemos que

$$\begin{aligned} 2 \cdot \text{int}(P) + 2 \cdot \text{ext}(P) &\geq (2n - k - 6) + (n - 3) + k \\ &\geq 3n - k - 9 + k \\ &\geq 3n - 9 \\ \Rightarrow \text{int}(P) + \text{ext}(P) &\geq \left\lfloor \frac{3n - 9}{2} \right\rfloor \\ &\geq \left\lfloor \frac{3n - 8 - 1}{2} \right\rfloor \\ &\geq \left\lfloor \frac{3n - 1}{2} - 4 \right\rfloor \\ &\geq \left\lfloor \frac{3n - 1}{2} \right\rfloor - 4. \end{aligned}$$

□

2. Sabemos que los ángulos en un polígono ortogonal son $\frac{\pi}{2}$ o $\frac{3\pi}{2}$. Los vértices concavos son siempre de $\frac{3\pi}{2}$.

Lema. Todo polígono ortogonal con n vértices tiene $\frac{n-4}{2}$ vértices concavos.

Demostración: Procedamos por inducción sobre el número de vértices. Es fácil ver que sólo podemos agregar $2m$ vértices a la vez, con $m \in \mathbb{Z}$. Supongamos que para k vértices se cumple el lema. ¿Qué pasa con $k + 2$ vértices?

$$\frac{k-4}{2} + 1 = \frac{k-4+2}{2} = \frac{(k+2)-4}{2}.$$

□

Def. Un corte impar es un corte horizontal o vertical, tal que uno de los subpolígonos que forma es de tamaño $4k + 2$. Con $k \in \mathbb{Z}$.

Teo. $\lfloor \frac{n}{4} \rfloor$ lámparas son siempre suficientes y a veces necesarias para iluminar cualquier polígono ortogonal con n vértices.

3. Por último tenemos

Teo. Sean $\alpha_1, \alpha_2, \alpha_3$ tres ángulos tales que

$$\alpha_1 + \alpha_2 + \alpha_3 = \pi$$

y sea P un polígono convexo. Entonces siempre podemos colocar tres reflectores de tamaño a lo más $\alpha_1, \alpha_2, \alpha_3$ con ápices sobre vértices de P de manera que P quede iluminado, y no coloquemos más de un reflector sobre cada vértice de P .

Demostración: Es fácil ver que un triángulo cumple con el teorema. Supongamos P un polígono convexo con al menos 4 vértices.

Supongamos que $\alpha_1 \leq \alpha_2 \leq \alpha_3 \Rightarrow \alpha_2 < \frac{\pi}{2}$. Además, cómo P tiene al menos 4 vértices entonces al menos uno de los ángulos generados por sus vértices es mayor o igual que $\frac{\pi}{2}$. Sea T un triángulo cuyos ángulos sean α_1, α_2 , y α_3 tal que:

- (a) El vértice de T de tamaño α_2 está colocado sobre un vértice v de P que genera un ángulo mayor o igual a α_2 .
- (b) Los otros dos vértices de T están colocados sobre dos puntos x, y en la frontera de P .

Supongamos que x, y pertenecen a aristas distintas en P .

Analicemos dos posibles casos:

- (a) $u \neq w$. Coloquemos un reflector f_1 sobre u iluminando la zona angular determinada por v, u, x y otro, f_3 sobre w iluminando la zona angular determinada por v, w, y . Como f_1 y f_3 no están en el interior de C , los ángulos de iluminación de f_1 y f_3 son a lo más, α_1 y α_2 respectivamente.
- (b) $u = w$. Sea T' el triángulo determinado por el segmento que une a x con y , y las tangentes a C en estos puntos. El ángulo generado en el vértice z de T' que no está sobre C es $\pi - 2\alpha_2$. Nótese que z pertenece al interior del triángulo T'' con vértices x, y, u y por tanto el ángulo de T'' en u es menor que $\pi - 2\alpha_2$. Como $\alpha \leq \alpha_2 \leq \alpha_3 \leq \pi - 2\alpha_2 \leq (\pi - (\alpha_1 + \alpha_2)) = \alpha_3$. Por tanto colocando un reflector de tamaño a lo más α_3 en u iluminamos P .

□

0.3 Iluminación de polígonos con reflectores.

Obejetivo: Cotas sobre el número de reflectores suficientes para iluminar un polígono simple.

Desarrollo: Para cada vértice p_i en el polígono se asignan pesos de α_i correspondiente al ángulo de iluminación a partir de p_i . Cabe mencionar que no es cierto que para cada p_i corresponda un α_i necesariamente.

Dado un subconjunto S de los vértices de P , decimos que S ilumina a P si todo punto de P es visible desde algún vértice en S . Asociaremos un peso a S igual a la suma de los pesos de los elementos de S .

Teo 1. Todo polígono P con n vértices tiene un subconjunto S que lo ilumina de tal manera que el peso de S es a lo más

$$\frac{(n-2)\pi}{3}.$$

Para cada $\epsilon > 0$ existen polígonos tales que no tienen conjuntos de vértices que los iluminen de peso

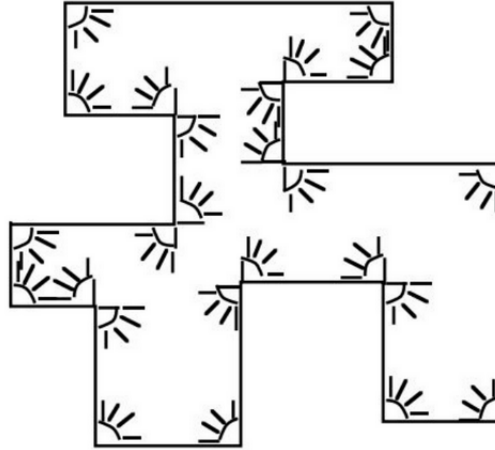
$$\frac{(n-2)\pi}{3} - \epsilon.$$

Teo 2. Para cualquier $\epsilon > 0$, existen polígonos simples que no pueden ser iluminados con reflectores de tamaño menor o igual a $\pi - \epsilon$ aún permitiendo un reflector por vértice. A nosotros nos importará demostrar que esto es cierto para $\epsilon \geq \frac{1}{2}$.

Teo 3. Todo polígono ortogonal sin agujeros puede iluminarse con a lo más

$$\left\lfloor \frac{3n-4}{8} \right\rfloor$$

reflectores ortogonales.



Teo 4. Todo polígono ortogonal P con h agujeros y n vértices puede iluminarse con a lo más

$$\left\lfloor \frac{3n+4(h-1)}{8} \right\rfloor$$

reflectores ortogonales colocadas sobre los vértices de P .

Teo 5. Todo polígono ortogonal P con n vértices puede iluminarse con a lo más

$$\lfloor \frac{n}{4} \rfloor$$

reflectores sobre la frontera de P . Dichos reflectores pueden ser localizados en tiempo lineal.

Resultado mostrado en la exposición de *Ares Castro Romero*.

0.4 Iluminando triángulos y rectángulos en el plano.

Obejetivo: Iluminar polígonos ortogonales y conjuntos de triángulos.

Desarrollo: Dividamos en dos el siguiente análisis:

1. Polígonos ortogonales. Analicemos dos posibles casos:

- (a) Para Rectángulos sin huecos basta con obtener una 3-coloración, resulta que un conjunto de rectángulos unidos por al menos una arista siempre admite una 3-coloración.

Después, basta encontrar el color con menos apariciones. Así, coloreamos este conjunto de rectángulos con a lo más

$$\lfloor \frac{4n+4}{3} \rfloor$$

reflectores, colocados en los vértices con el color con menos apariciones.

- (b) Para rectángulos con huecos basta con que nuestro conjunto de rectángulos admita una 2-coloración por vértices, entonces tenemos que necesitamos a lo más

$$\lfloor \frac{4n+4h+4}{3} \rfloor$$

luces para iluminar nuestro conjunto de rectángulos, de hecho basta con los vértices de un mismo color en la 2-coloración admitida. Nuevamente, el conjunto de rectángulos unidos por al menos una arista siempre admite una 2-coloración por vértices.

Una manera de mejorar esta cota es trazando diagonales en lo que sería cada hueco, así podemos aplicar la técnica para rectángulos sin huecos y disminuir la cota dada.

2. Con conjuntos de triángulos basta encontrar subregiones iluminadas adecuadamente, tal que al subdividir en $2(n+3)+1$ regiones, estas se puedan iluminar y su conjunto unión ilumine todo el conjunto de triángulos.

Esto se puede mejorar un poco si nuestra gráfica subdividida en regiones es 2-coloreada, entonces basta iluminar cada vértice de un color y así obtenemos que podemos iluminar un conjunto de triángulos con a lo más

$$\frac{4n+10}{3}$$

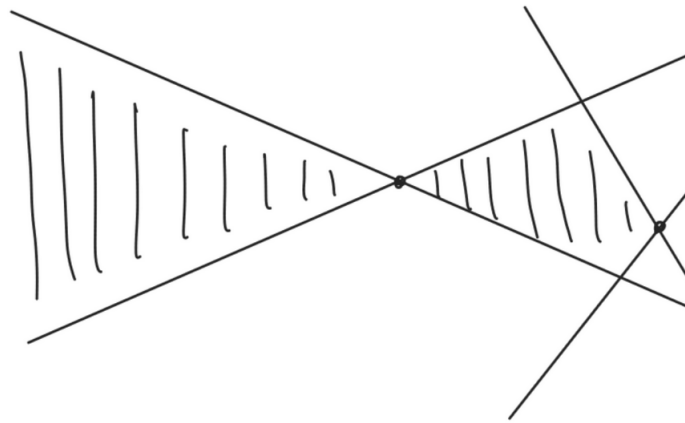
luces. Nuevamente, se asume que la subdivisión plana resultante es 2-coloreable.

0.5 Segmentos de líneas punzantes.

Obejetivo: Algoritmo para determinar las líneas que interseca a cada uno de los n segmentos de línea dados en el plano.

Desarrollo: Para un conjunto S de n segmentos de línea en el plano. Si queremos calcular todas las líneas punzantes, entonces analicemos dos posibles casos:

1. Si sólo hay un segmento de línea en el conjunto S . Entonces, la región punzante es la doble cuña de este segmento.



2. Si hay al menos dos segmentos, dividir el conjunto S en dos subconjuntos de igual tamaño y calcular la región punzante de ambos subconjuntos de manera recursiva. La región punzante de todo el conjunto es la intersección de las regiones punzantes de los subconjuntos.